## 反応性固相エピタキシャル成長法による NaxMnO2 薄膜の作製

Reactive Solid-Phase Epitaxial Growth of Na<sub>x</sub>MnO<sub>2</sub> thin films

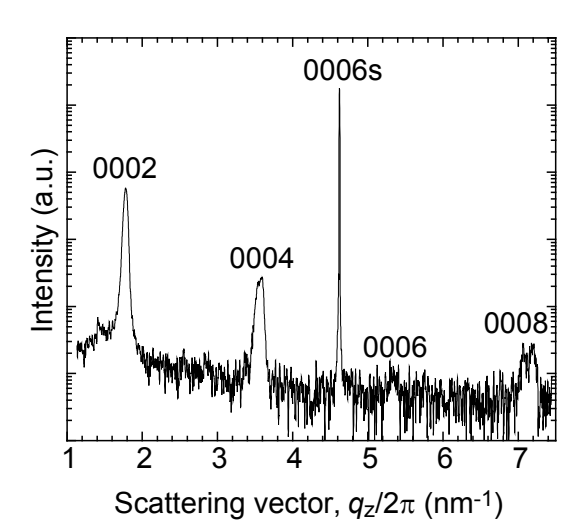
○片山 翔太、片瀬 貴義、太田 裕道 (北大電子研)

°Shota Katayama, Takasyoshi Katase, Hiromichi Ohta (RIES-Hokkaido Univ.)

E-mail: s.katayama.2487@es.hokudai.ac.jp

アルカリ層状遷移金属酸化物 AxMO2(A:Na、Li など、M:遷移金属)は、A イオン電池用正極活物 質[1]や熱電材料[2]としての特性に優れていること から、次世代エネルギー材料として精力的に研究 されている。 $A_xMO_2$  のイオン・電子輸送特性を明 らかにするためには単結晶エピタキシャル薄膜が 有用だが、蒸気圧の高いアルカリ金属を含む AxMO2 を真空中で高温に加熱した基板上に直接 エピタキシャル薄膜成長させるのは極めて困難で ある。我々は、鋳型となる単純酸化物のエピタキ シャル薄膜を作製しておき、蒸気圧の高い成分は アモルファス薄膜や粉体との化学反応を利用して 後から供給する「反応性固相エピタキシャル成長 (R-SPE)法」<sup>[3]</sup>を用いることで、 $Na_xCoO_2$  などのエ ピタキシャル薄膜作製を行ってきた<sup>[4]</sup>。本研究で は、最近 Na イオン電池用の正極活物質[5]として 注目されている Na<sub>x</sub>MnO<sub>2</sub>をターゲットとし、R-SPE 法によるエピタキシャル薄膜成長を試みたので報 告する。

まず、Mn<sub>2</sub>O<sub>3</sub> 焼結体をターゲットとしたパルスレ ーザー堆積法(~2 J cm<sup>-2</sup> pulse<sup>-1</sup>, 700 °C, P<sub>O2</sub>~10<sup>-2</sup> Pa) により、(0001) α-Al<sub>2</sub>O<sub>3</sub> 単結晶上に MnOx 薄膜をヘテロエピタキシャル成長させた。次 いで、MnO<sub>x</sub> 薄膜表面を別の α-Al<sub>2</sub>O<sub>3</sub> 基板でカバ ーし、全体を Na<sub>2</sub>CO<sub>3</sub> 粉末で覆った後、大気中 700 ℃、0.5 h 加熱した。 炉冷後、カバーした α-Al<sub>2</sub>O<sub>3</sub> 基板を取り除くことで Na<sub>x</sub>MnO<sub>2</sub> 薄膜を得 た。XRD測定の結果、アウトオブプレーンXRDパ ターン(上図)には、基板の 0006 回折ピークと共 に  $Na_xMnO_2$ の 000l 回折ピークのみが見られ、そ のロッキングカーブの半値幅は~0.8°であった。ま た、インプレーン XRD パターンには、基板の1120 回折ピークと共に  $Na_xMnO_2$  の1 $\overline{1}00$ 回折ピークが 見られ(下図)、そのロッキングカーブには、六回 対称性を示す 60° 毎のピークが観測された。以上 の結果から、MnOx エピタキシャル薄膜と Na2CO3 粉末を反応させるR-SPE 法によりNaxMnO2エピタ キシャル薄膜が作製でき、そのエピタキシャル方 位関係は、(0001)[1100] Na<sub>x</sub>MnO<sub>2</sub> || (0001)[1120] α-Al<sub>2</sub>O<sub>3</sub>であることが分かった。



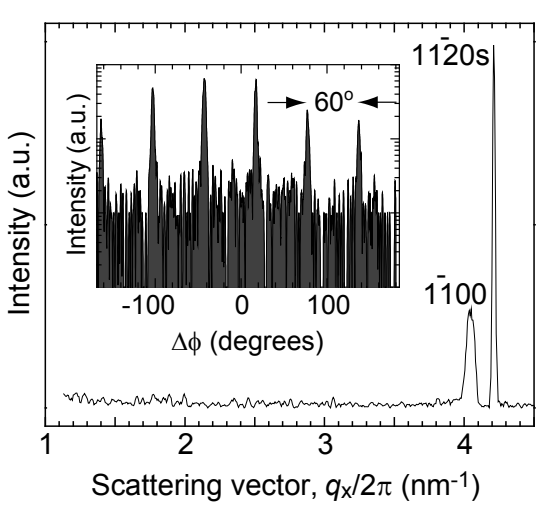


Fig. Out-of-plane (upper) and in-plane (lower) XRD patterns of Na<sub>x</sub>MnO<sub>2</sub> thin film grown by R-SPE method. The inset figure (lower) shows in-plane rocking curve for  $1\bar{1}00$  Na<sub>x</sub>MnO<sub>2</sub>.

文献 [1] K. Mizushima, J.B. Goodenough et al., Mater. Res. Bull. 15, 783 (1980). [2] I. Terasaki et al., Phys. Rev. B 56, R12685 (1997). [3] H. Ohta et al., Adv. Funct. Mater. 13, 139 (2003). [4] H. Ohta et al., Cryst. Growth Des. 5, 25 (2005). [5] X. Ma et al., J. Electrochem. Soc. 158, A1307 (2011).